

УДК 532.517.4.011

**ОБТЕКАНИЕ ТУРБУЛЕНТНЫМ ПОТОКОМ ВОЗДУХА
ДВИЖУЩЕЙСЯ КРИВОЛИНЕЙНОЙ ПОВЕРХНОСТИ**

МАКИН В. К.

Описывается численная модель обтекания турбулентным потоком воздуха криволинейной поверхности. Модель основана на двумерных нелинейных уравнениях Рейнольдса и уравнениях неразрывности, записанных в системе координат, связанной с профилем криволинейной поверхности. Напряжения Рейнольдса представляются в виде произведения изотропного коэффициента турбулентной вязкости, линейно возрастающего с высотой, и тензора деформации поля средней скорости. Имитируется обтекание неподвижной синусоидальной поверхности и синусоидальной гравитационной волны на воде. Получена структура волновых полей скорости и давления. Анализируются различия в обтекании неподвижной и подвижной поверхностей.

1. Постановка задачи. Рассматривается несжимаемый турбулентный поток воздуха в двумерной области $0 < x < L$, $\eta(x, t) < z < h$, где x , z и t — декартовы координаты и время, L и h — длина и высота области, $\eta(x, t)$ — профиль криволинейной поверхности. Полные нелинейные уравнения Рейнольдса и уравнение неразрывности в системе координат (x, ξ) , где $\xi = (z - \eta)/(h - \eta)$, записывается в виде

$$\frac{\partial u_i}{\partial t} + \frac{\partial \xi}{\partial t} \frac{\partial u}{\partial \xi} + A_{jm} \frac{\partial}{\partial x_m} (u_i u_j + \overline{u_i' u_j'}) = -A_{im} \frac{\partial p}{\partial x_m} \quad (1.1)$$

$$A_{im} \frac{\partial u_i}{\partial x_m} = 0 \quad (1.2)$$

где $i=1, 2$, и по повторяющимся индексам производится суммирование; $x_1=x$, $x_2=\xi$; $u_1=u$ и $u_2=w$ — горизонтальная и вертикальная компоненты скорости; вместо полного давления P введено его отклонение от гидростатического p

$$p = \frac{P}{\rho} + g \int_{\xi}^{\xi_0} \left(\frac{\partial \xi}{\partial z} \right)^{-1} d\xi$$

где ρ — плотность воздуха, g — ускорение свободного падения.

Матрица преобразования координат имеет вид

$$A = \begin{bmatrix} 1 & -H^{-1} \frac{\partial}{\partial x} (\eta + \xi H) \\ 0 & H^{-1} \end{bmatrix}, \quad H = h - \eta$$

Замыкание уравнений (1.1), (1.2) основано на традиционном подходе, разработанном для нестационарного и неоднородного пограничного слоя над плоской поверхностью [1]. Известно, что отклонение от автомодельной структуры в системе координат, связанной с поверхностью, является эффектом малых возмущений. В результате выбор моделей турбулент-

ности различной степени сложности практически не влияет на воспроизводимые поля волновых флуктуаций скорости и давления. Это обстоятельство позволяет применять наиболее простую модель, в которой одноточечные моменты второго порядка представляются в виде произведения изотропного коэффициента турбулентной вязкости K и компонент тензора деформации поля скорости [1]

$$\overline{u_i' u_j'} = \frac{2}{3} e \delta_{ij} - K \left(A_{jm} \frac{\partial u_i}{\partial x_m} + A_{im} \frac{\partial u_j}{\partial x_m} \right)$$

Предполагается, что K зависит от координаты ξ так же, как в авто-модельном пограничном слое $K = v_* \kappa \xi H$, где v_* — скорость трения, $\kappa = 0,4$ — постоянная Кармана. Конкретные значения кинетической энергии турбулентности e несущественны, так как уравнения (1.1) допускают переопределение давления по формуле $p = p^+ + \frac{2}{3} e$. Этот метод замыкания уравнений проверялся воспроизведением результатов, полученных в [3, 4], где для замыкания использовалось полуэмпирическое уравнение эволюции энергии турбулентности с известными гипотезами Колмогорова. Сравнение показало практическое совпадение всех рассчитываемых характеристик пограничного слоя. Хорошее согласование этих расчетов с данными лабораторных измерений в пограничном слое над волнами [4] обосновывает возможность применения выписанной модели турбулентности для исследования обтекания криволинейных поверхностей.

На поверхности $\xi = 0$ турбулентные потоки импульса определяются квадратичным законом локального трения (законом стенки), который в криволинейной системе координат имеет вид

$$\begin{aligned} A_{j3} \overline{u_i' u_j'} &= -c_1 |\Delta u| B_{ij} A_{j3} \quad (\xi = 0) \\ B_{ij} &= \Delta (u_i A_{j3} + u_j A_{i3}), \quad c_1 = \kappa^2 [\ln(\xi^+ H/z_0)]^{-2} \end{aligned}$$

Здесь c_1 — коэффициент сопротивления, z_0 — параметр шероховатости, Δ — оператор, означающий разность величин на уровне ξ^+ и на самой поверхности.

2. Граничные и начальные условия; метод решения. На нижней и верхней границах области задаются значения компонент скорости

$$u_i = u_{i0} \quad (\xi = 0), \quad u_1 = \text{const}, \quad u_2 = 0 \quad (\xi = 1) \quad (2.1)$$

При $t = 0$ задаются профили скорости и давления

$$u(\xi) = \frac{v_*}{\kappa} \ln \left(\frac{\xi h}{z_0} \right), \quad w(\xi) = p(\xi) = 0$$

Задача решается численно. Перепишем (1.1) в виде

$$\frac{\partial u_i}{\partial t} = F_i^l - A_{im} \frac{\partial p^{l+1}}{\partial x_m} \quad (2.2)$$

где в F_i включены члены, стоящие в левой части (1.1); l — номер временного шага. Дифференцируя (2.2) по времени и подставляя в (2.2), получим уравнение для определения давления p

$$A_{im} \frac{\partial}{\partial x_m} \left(A_{im} \frac{\partial p^{l+1}}{\partial x_m} - F_i^l + \frac{\partial u_i}{\partial t} \right) = 0 \quad (2.3)$$

Уравнение (2.3) решается методом последовательной верхней релаксации до заданной точности, определяемой выполнением уравнения неразрывности $A_{im} \partial u^{l+1} / \partial x_m = 0$ (подробно вид разностной схемы см. в [2, 3]).

Ищется стационарное решение. Достижение стационарности определяется совпадением горизонтального потока импульса на нижней τ_0 и верх-

ней τ_1 границах. Проинтегрированное по x уравнение (1.1) при $i=1$ в стационарном случае имеет вид

$$\begin{aligned}\tau &= \tau^a + \tau^t + \tau^p = \text{const} \\ \tau^a &= -\rho \left\langle u \left[w - (1-\xi) \left(\frac{\partial \eta}{\partial t} + u \frac{\partial \eta}{\partial x} \right) \right] \right\rangle \\ \tau^t &= -\rho \left\langle \overline{u'w'} - \frac{\partial \eta}{\partial x} \overline{u'u'} (1-\xi) \right\rangle \\ \tau^p &= \left\langle \frac{\partial \eta}{\partial x} p (1-\xi) \right\rangle\end{aligned}\quad (2.4)$$

где τ^a , τ^t и τ^p — потоки импульса за счет адвекции, напряжений Рейнольдса и поля давления; угловые скобки означают осреднение по x .

На поверхности $\xi=0$ в силу граничных условий (2.1), а также (3.1), (3.2) $\tau^a=0$ и, следовательно,

$$\tau_0 = -\rho \left\langle \overline{u'w'_0} - \frac{\partial \eta}{\partial x} \overline{u'u'_0} + \frac{\partial \eta}{\partial x} p_0 \right\rangle \quad (2.5)$$

На верхней границе $\xi=1$ в силу (2.1) $\tau^a=\tau^p=0$ и потому

$$\tau_1 = -\rho \langle \overline{u'w'_1} \rangle = \rho v_*^2$$

где v_* — новое значение скорости трения. В расчетах совпадение τ_0 и τ_1 выполнялось с точностью до 2%.

3. Численный эксперимент. Целью эксперимента являлось исследование различия обтекания неподвижной и подвижной поверхностей одинаковой геометрии и связи распределений волновых характеристик воздушного потока вблизи поверхности по вертикальной декартовой координате $z'=z/h$ и вертикальной координате ξ (см. также [4, 5]).

Рассматривались два варианта.

I. Неподвижная криволинейная поверхность

$$\eta(x) = a \cos(kx), \quad u_0 = w_0 = 0 \quad (3.1)$$

где a — амплитуда, $k=2\pi/L$ — волновое число.

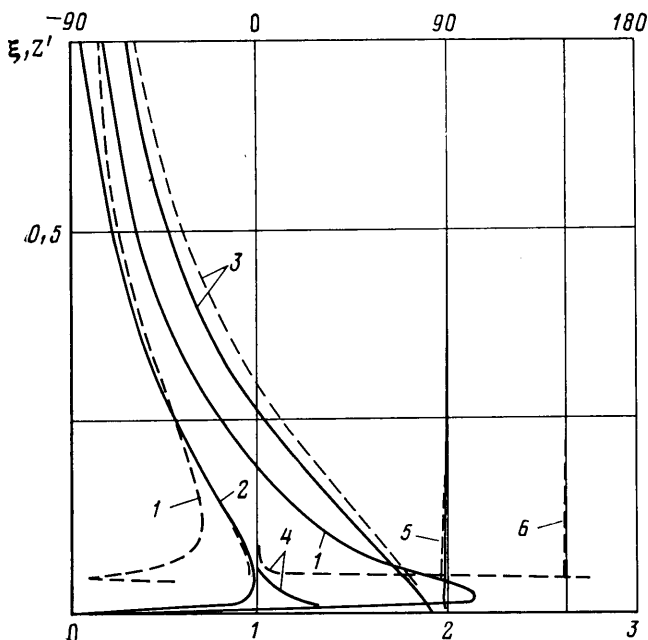
II. Подвижная поверхность, моделирующая ветровую гравитационную волну на воде

$$\begin{aligned}\eta(x, t) &= a \cos \varphi, & u_0 &= a\omega \cos \varphi, & w_0 &= a\omega \sin \varphi \\ \varphi &= kx - \omega t, & \omega^2 &= gk, & \frac{\partial \eta}{\partial t} &= w_0 - \frac{\partial \eta}{\partial x} u_0 + O(ak)^2\end{aligned}\quad (3.2)$$

Здесь последнее уравнение — кинематическое условие на поверхности, ω — частота, $\omega/k=c$ — фазовая скорость. Отношение характерного времени подстройки пограничного слоя к волнам к характерному времени развития ветровых волн составляет 0,01 [2]. Таким образом, поле скоростей ветра в среднем всегда соответствует состоянию поверхности на любой стадии развития волн. Этот факт позволяет для исследования пограничного слоя над волнами на данной стадии их развития, характеризуемой отношением v_*/c , использовать «замороженный» волновой профиль (с постоянной во времени амплитудой a) и искать стационарное решение задачи.

Для этого используется замена переменных $x'=x-ct$ и $\xi'=\ln(\xi/\xi_0+1)$, позволяющая исключить из (1.1) производные по времени и сгущающая сетку с приближением к поверхности, где формируются поверхностные потоки импульса и энергии (ξ_0 — параметр разрежения). Параметры поверхности и пограничного слоя имеют следующие значения: $a=6 \cdot 10^{-3}$ м, $c=0,8$ м/с, $L=0,4$ м, $v_*=0,08$ м/с, $z_0=4,4 \cdot 10^{-5}$ м, $h=0,2$ м.

На фиг. 1 (неподвижная поверхность) и 2 (подвижная поверхность) показаны распределение по высоте в координатах z' (пунктирные линии) и ξ (сплошные линии) амплитуд и фаз волновых составляющих компонент скорости и давления. На нижней оси отложены нормированные амплитуды продольной скорости u/v_* (кривые 1), вертикальной скорости w/v_* (кривые 2), давления $mp/\rho v_*^2$ (кривые 3). Масштабный коэффициент m на фиг. 1 равен 0,1, на фиг. 2 — 0,5. На верхней оси отложены значения фаз в градусах. Кривые 4, 5, 6 соответствуют фазам продольной и вертикальной скоростей и фазе давления. Характерной особенностью является совпадение распределений амплитуд и фаз вертикальной составляющей скорости и давления в координатах z' и ξ . Этот факт позволяет



Фиг. 1

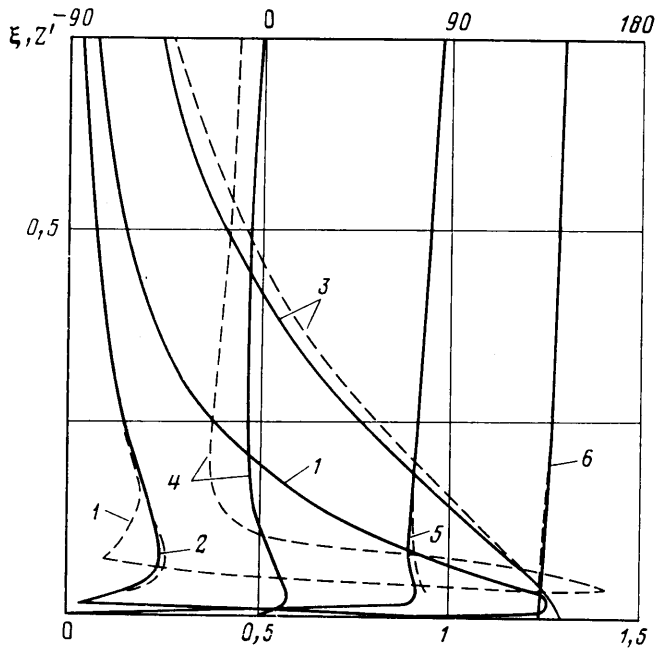
для получения экспериментальных поверхностных значений указанных характеристик над волнистой поверхностью проводить измерения в декартовой системе координат, используя неподвижные относительно уровня $z=0$ приборы, с экстраполяцией результатов на уровень $\xi=0$. Распределение амплитуд горизонтальной волновой составляющей скорости характеризуется наличием резко выраженного максимума по ξ и минимума по z' ; последний связан с переходом фазы возмущений через 90° .

В случае распространения гравитационной волны отмечается наличие минимума в распределении амплитуд вертикальной составляющей скорости по координате z' , отсутствующего в другом варианте. Количественные значения рассматриваемых характеристик в обоих вариантах различны.

При обтекании криволинейной поверхности создается сопротивление, создаваемое касательными напряжениями Рейнольдса и корреляцией поверхностного давления с наклоном поверхности (см. формулу (2.5)); последнее известно как сопротивление формы и отсутствует при обтекании плоской поверхности. Коэффициент сопротивления формы τ_o^p/τ_o , где τ_o^p и τ_o определяются соотношениями (2.4), (2.5) на $\xi=0$, составляет в расчетах соответственно 10 и 6%. Проинтегрируем уравнение (1.1) при $i=1$ по x и ξ

$$\int_0^1 \frac{\partial}{\partial t} \langle uH \rangle d\xi = \tau_1 - \tau_0^t - \tau_0^p$$

При обтекании плоской поверхности $\tau_0^p = 0$, $\tau_1 = \tau_0^t = \rho v_*^2$. При обтекании криволинейной поверхности возникает сопротивление формы, определяемое членом $\tau_0^p > 0$, что ведет к уменьшению средней скорости и увеличению τ_1 . Коэффициент сопротивления пограничного слоя $\tau_1 / \rho u_1^2$ при обтекании криволинейной поверхности больше, чем при обтекании плоской поверхности; в расчетах превышение составляет соответственно 8 и 4%.



Фиг. 2

В случае движения поверхности $u_{i0} = u_{i0}(x, t)$ к ней направлен поток энергии

$$\Pi = - \left\langle p_0 \frac{\partial \eta}{\partial t} \right\rangle + \left\langle \tau_0^t \left(u_0 - w_0 \frac{\partial \eta}{\partial x} \right) \right\rangle \quad (3.3)$$

Основная часть потока энергии определяется первым членом справа в (3.3) и составляет от Π около 90%. Поток энергии Π составляет от потока энергии на верхней границе пограничного слоя $\tau_1 u_1$ около 4%, однако именно за счет него происходит рост ветровых гравитационных волн.

ЛИТЕРАТУРА

1. Монин А. С., Яглом А. М. Статистическая гидромеханика. Ч. 1. М.: Наука, 1965. 639 с.
2. Chalikov D. V. The numerical simulation of wind-wave interaction.— J. Fluid Mech., 1978, v. 87, pt 3, p. 561–582.
3. Макин В. К. Поле ветра над волнами.— Океанология, 1979, т. 19, № 2, с. 206–212.
4. Макин В. К., Чаликов Д. В. Численное моделирование структуры воздушного потока над волнами.— Изв. АН СССР. Физика атмосферы и океана, 1979, т. 15, № 3, с. 292–299.
5. Макин В. К., Панченко Е. Г. Распределение приповерхностного давления на волнистой поверхности.— Изв. АН СССР. Физика атмосферы и океана, 1983, т. 19, № 10, с. 1098–1101.

Ленинград

Поступила в редакцию
18.II.1985.